

道路交通流の物理的性質 (III)

—t-s ダイアグラムから見た交通流のショックウエーブの性質—

Physical Properties of Road Traffic Flow (III)

-Fundamental Properties of Road Traffic Flow Viewing from t-s Diagram -

高木 相

東北大学名誉教授

Tasuku Takagi

Professor Emeritus, Tohoku University

キーワード： 交通流、t-s ダイアグラム、ショックウエーブ、

連絡先：〒981-0952 仙台市青葉区中山 5-2-20

E-mail: tasuku@sirius.ocn.ne.jp

1. はじめに

本文は道路交通流の筆者のこれまでの研究を初めから見直しながらか、その後はっきりした事項を加えて、過去の考察不足、あるいは誤謬を正しながら取りまとめているシリーズの第 3 (III) である。(I) [1]では自動車の発進、走行特性の実地測定の結果についてのべた。ここでの結論は、交差点での車列の発進特性を定式化であった。(II) [2]では、交通流を図的表示で理解の便に供するための、time-space diagram(t-s ダイアグラム)の概要を説明した。本文は平均化線形 t-s ダイアグラム[2]上でのショックウエーブ (Shock Wave: SW) の基本的性質を明らかにする。交通流のいろいろな条件下で交通流がどのように変化するかを SW 論として取りまとめる。SW 自体の性質については

Adolf May により詳しく解説されているので [3]、理論的には本文に新規性はない。しかし、渋滞問題など、実用的立場からの検討に必要な SW 理論を整理しておく必要があるので、平均化線形 t-s ダイアグラム上での SW の基本的性質を取りまとめておくこととする。

2. 平均化線形 t-s ダイアグラム

2.1 実交通流の t-s ダイアグラム

図 1 は実際の道路交通流を測定して得た t-s ダイアグラムである[2]。仙台市東 2 番町通りの道路を見下ろせるビル (SS30) から下の交差点を撮影したビデオ映像のうちの 1 車線を選んで通過車の時間を測定した。図中丸印が測定点である。縦軸の 1 目盛は約 10 m で、1 本の線は 1 台の車の走行軌跡を表す。

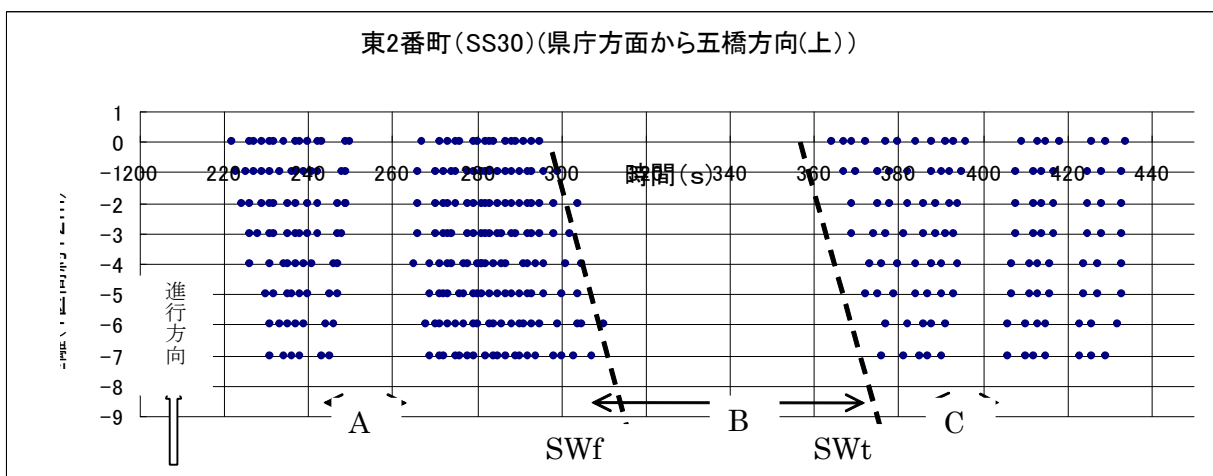


図 1. 実測定による t-s ダイアグラム

図1で車は距離-9から1に向かって進行している。0点が交差点の停止線である。この図からおよそ次のような交通流の状態をすることができる。

- 1) A、Cの時間帯には車がない。これは前の交差点の信号の影響と考えられる。
- 2) Bの時間帯は明らかに交差点の赤信号時間帯である。赤信号点灯によって車が次々と停止する様子が分かる。ここでは7台の車が約60秒間停止している(停止車の間隔(車頭距離)はここでの車列が大型バスの列であったために10m以上と大きくなっている)。
- 3) 太い斜めの点線が Shock Wave (SW) である。SWf は波頭 (Wave Front) を、SWt は波尾 (Wave Tail) を意味する。SWは時間とともに伸びていくので矢印で示してある。それぞれは
 - ・ SWf : 先頭車が停止または速度を落としたときに後方に伝搬するショックウェーブ
 - ・ SWt : 停止車あるいは低速の車が速度を上げたとき、後続車がそれに追従走行するときに生じるショックウェーブ
 である。この性質を本文では一般的に議論する。

4) 速度 V の情報

t-s ダイアグラムの各線(走行軌跡)の傾きが速度を表す。定常的に走行している状態では、速度変化を感度よく読み取ることが難しいが、この図で示すように交差点での停止時、発進時の大きい速度変化はよく分かる。

5) 車頭時間 T の情報

t-s ダイアグラムは走行車群の定点でのタイミングを道路に沿って測定し、これを繋いだものであるから、もっともはっきり表される量である。図1を見ると赤信号の前で、区間Aを除いた区間での各線間は密度が高い。すなわちここでは T は短い。赤信号後の T はこれに比べて長い。 T は時間領域での交通流の密度を表す。これが短いということは交通量が大きいことを意味する。この意味で t-s ダイアグラムにおける T は交通量の変化情報を示しているといつてよい。

以上のごとく、t-s ダイアグラムは交通流の挙動に関する全ての情報を持っているといつ

ても過言ではない。

2.2 平均化線形 t-s ダイアグラム

すでに[2]で述べたように、ある時間帯で速度 V と車頭時間 T を平均する(平均化)。走行軌跡は蛇行するが、これを直線で平均化する(線形化)。速度変化は従って折れ線になる。このようにして単純化した t-s ダイアグラムは[2]で示したが、車頭時間の平均化をせず、線形化だけでは、[2]でみたように t-s ダイアグラムはまだ可成り複雑で解析には適さない。そこで車頭時間を平均化してモデルとしたものを図2に再掲する([2]の図2.4)。これは例として t-s ダイアグラムを交差点の交通流に当てはめたものである。ここでは交差点に入る車(入力車)の車頭時間を平均化して T 、交差点を出て行く車(出力車)のそれを T_0 としている。

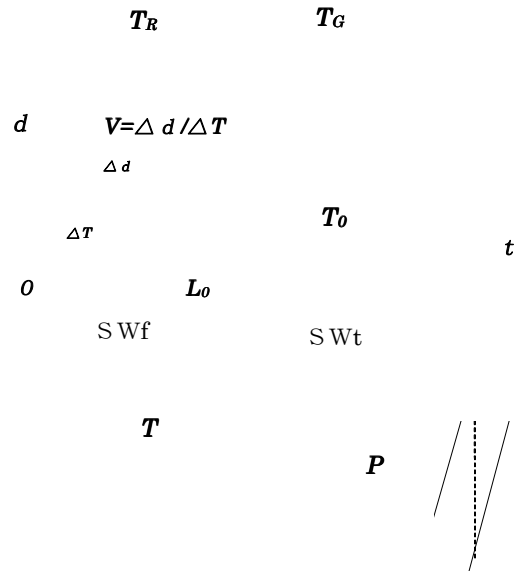


図2. 交差点交通流の平均化線形 t-s ダイアグラム

図2は交差点におけるモデル的な平均化線形 t-s ダイアグラムである。図2と図1の対応について述べておく。図2で T_R は赤信号時間、 T_G は青信号時間である(黄信号は無視している)。図1では SWf と SWt はほぼ平行である。しかし、図2ではこの両者は P 点で交わりここでショックウェーブは収束している。図2のモデルは一般的な解析モデルである。図1で、赤信号時間で停止から発進までの車の t-s ダイアグラムは曲線-水平線-曲線で表されている。図2では線形化しているので、折れ線で表示されている。

ここでパラメータを纏めておく（パラメータは全て平均値）。

V ：車速 (m/s)

T ：交差点進入車の車頭時間 (s)

T_0 ：交差点発進車の車頭時間 (s)

L_0 ：停止車列の車頭距離 (m)

この4つのパラメータでショックウェーブが計算でき、交通流の動的挙動（ダイナミクス）を明らかにすることが出来る。

以上のような背景と展望のもとに、本文の目的は交通流の条件を与えて、モデル的にショックウェーブの性質を明らかにすることである。しかしその前に、われわれが運転する自動車の車列形成についての知識が必要である。必要な知識は速度 V と車頭距離 L の関係である。次章でこのことを考察する。

3. 速度 V と車頭距離 L の関係 (V - L 特性)

われわれが車を運転するときに、速く走る時は車間距離 ($L-L_0$) は大きくなる。 $(L_0$ は車の大きさ)。このことは単なる物理現象ではなく運転者の危険感覚で自然に定まるものと考えてよい。なお、追従走行に関する研究では Optimum Velocity (OV) なる概念が提示されている[4]が V - L 関係については十分な議論はなされていない。筆者は V - L 特性を実測データを与えて検討してみた。その結果、この関係はほぼ指数関数で近似できるというデータを得ている（付録参照）。すなわち

$$L = L_0 e^{\beta V} \quad (1)$$

の関係が正立する。但し、 β の値は小さいから、ある速度の範囲では緩やかな直線関係とみても大差はないと考えられる。この関係は今後多くの測定データのもとに検証しなければならないが、 t - s ダイアグラムでショックウェーブを考察する上で、(1) 式の関係の頭に入れておく必要である。(1) 式は、ある車速で走行するとき、後続車がどれだけ車間距離を詰めることが出来るかの限界車頭距離を示すものと解釈できる。交差点で赤信号で停止したときは、図2に示すように、車頭距離は L_0 になる ($V=0$)。

平均化線形 t - s ダイアグラムでの線間の距離は横軸（時間軸）では T と T_0 であり、縦軸（距離軸）では停止時は L_0 、走行時は L である。(1) 式は L が V と指数関数関係にあることを示した

ものである。既報の[5]ではこの関係は考慮されていない。

4. 交通流とショックウェーブ (SW)

4.1 解析モデルと SW の伝搬速度

平均化線形 t - s ダイアグラムのショックウェーブの考察は2台の車の走行軌跡（線）の形で考察出来る。

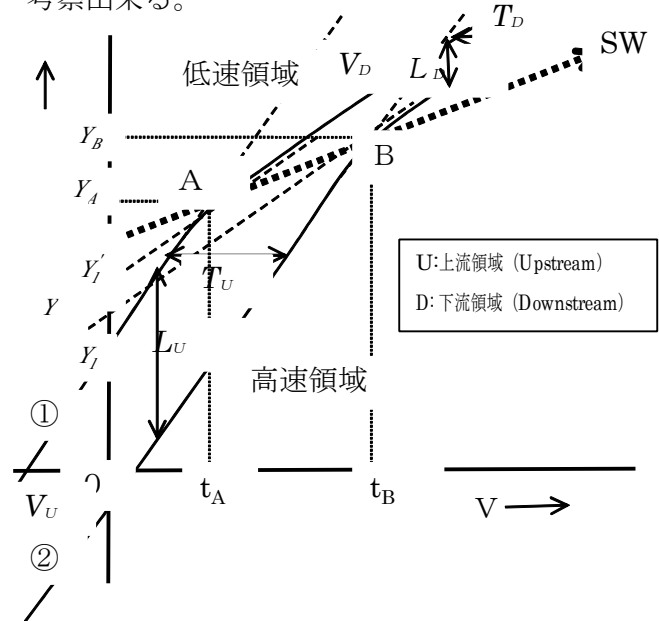


図3. 途中で速度が変化するときの2台の車の t - s ダイアグラム（解析モデル）

図3は①と②の2台の車がはじめ V_U なる速度、 L_U なる車頭距離、 T_U なる車頭時間で走行しており、それが途中でそれぞれ V_D, L_D, T_D に変わった様子を示している。①はA点で、②はB点でそれぞれ速度が変化している。図3は速度 V_D が V_U より小さくなったとき ($V_D < V_U$) の場合が示してあるが、(1) 式の関係を導入すると、この関係が ($V_D > V_U$) となっても、さらに、($V_D=0, V_U \neq 0$) あるいは ($V_D \neq 0, V_U=0$) となった場合でも SW は一般的に議論することができる。

通常われわれが経験するように、前車が速度をおとすと、後続車は前車に近づく。この時の車間距離は感覚的に安全な距離を保つ。つまり、 L_0 は前車に最も接近した距離になる。この関係が (1) 式で定まるということである。また、速度が大きくなるように変化する場合も車間距離は一時大きくなるが、やはり (1) 式

の関係で車頭距離がたもたれるように追従走行するという考えで以下の議論を展開する（これは必ず成立する条件ではないが、準拘束領域から拘束領域（付図2）では多くのドライバーは前車に出来るだけ接近して走行するという一般的な性質をもっている）。

A点とB点を結ぶ線がここで出来るショックウエーブ（SW）である。

4.2 準拘束領域・拘束領域のSW

4.2.1 定式化

走行車列の速度 V が変化しても車頭時間がほとんど変化しないで車列が進行する領域がある（付図2 [2]）。これは付図1では $5 < V < 12$ (m/s) の範囲である。この領域では

$V_U \neq 0, V_D \neq 0$ でほぼ追従走行するものと考え

える。拘束領域では $V_U \neq 0$ ある限りすべて追従走行である。

（交差点では、 $V_U \neq 0, V_D = 0$ （赤信号時交差

点進入車）であり、また $V_U = 0, V_D \neq 0$ （青信号時発進車）である。交差点でのSWは5. で議論する）。よって、ここでの議論は交差点とは無関係で、通常走行時の議論である。

平均化線形 t-s ダイアグラムではSWは直線になる。図3で言えば、SWの線の上に後続の車③、④、----、（図中には書かれていない）、が等間隔で並びSWは直線になるから、SWはA点とB点の座標が分かればこの両点（AとB）を結ぶ直線として定式化ができる。

車①、②のU領域、D領域の軌跡を定式化すると、車①のU領域では

$$Y = V_U t + Y_I \quad (2)$$

D領域では

$$Y = V_D t + Y_I' \quad (3)$$

車②のU領域では(2)式を T_U だけ移動したものであるから、

$$Y = V_U (t - T_U) + Y_I \quad (4)$$

D領域では

$$Y = V_D (t - T_D) + Y_I' \quad (5)$$

であるから、(2)、(4)式を等置してA点の座標 $A(t_A, Y_A)$ を、また(3)、(5)式を等置し

てB点の座標 $B(t_B, Y_B)$ をそれぞれ決定して、A点とB点を通過する直線を求めると、これがショックウエーブ（SW）である。これをSWの式として

$$Y = ut + Q \quad (6)$$

なる直線で表わすと、 u はSWの伝搬速度である。 Q は定数であるが、これは座標軸のとりかた（任意）であるため、重要な意味はもたないからここでは問題にしないこととする。

SWの伝搬速度 u は(2)～(5)の式から

$$u = V_D \frac{1 - \frac{T_D}{T_U}}{1 - \frac{T_D V_D}{T_U V_U}} = V_D \frac{1 - \frac{T_D}{T_U}}{1 - \frac{L_D}{L_U}} \quad (7)$$

となる。一般に $TV = L$ （車頭距離）である。

(7)式は(1)式の関係から、

$$T = \frac{L_0}{V} e^{\beta V} \quad (8)$$

となるから、

$$L_D = L_0 e^{\beta V_D}, L_U = L_U e^{\beta V_U}, \\ T_D = \frac{L_0}{V_D} e^{\beta V_D}, T_U = \frac{L_0}{V_U} e^{\beta V_U} \quad (9)$$

となる。これを(7)式に代入すると、(10)式を得る。この式はSWの伝搬速度は速度情報 V_U, V_D と β で決まるということを示している。 β は道路によって決まる定数であるが、交通流との関係はまだ明らかではない。今後の調査に期待するところである。

$$u = -V_D \frac{1 - \frac{V_U}{V_D} e^{\beta(V_D - V_U)}}{e^{\beta(V_D - V_U)} - 1} \quad (10)$$

ショックウエーブ（SW）の性質で最も重要なのは(7)式あるいは(10)式で表される伝搬速度である。t-s ダイアグラムによる交通流の性質はこれを議論することによって明らかにすることが出来る。

である。図4に当てはめれば、 $V_U = V_D = V$ 、

であり、 $T_U = T$ 、 $T_D = T_0$ である。

5.3 SWf, SWt の式

赤信号停止時のSWである。赤信号点灯時を原点とする。そしてSWfは原点を通るものとする(図4では原点から外れているが、原点から発進するとしても大きい誤差にはならない)。

SWの式は(6)式に示すが、原点を通るとすると $Q=0$ である。図4の縦軸は d であるから

SWf,

SWtは

$$\text{SWf: } d = -\frac{VL_0}{TV - L_0}t \quad (14)$$

$$\text{SWt: } d = -\frac{VL_0}{TV - L_0}(t - T_R) \quad (15)$$

である(SWtは青信号点灯時 $t = T_R$ の点から始まる)。

5.4 $P(t_p, L)$ 点の座標

(14)と(15)式を等置して t を求めるとこれが t_p で次のようになる。

$$t_p = \frac{TV - L_0}{V(T - T_0)} \quad (16)$$

これを

$d=0$ からP点までの距離が待ち車列長 L である。これは(16)式を(14)式に代入することによって求められる。結果は

$$L = \frac{L_0}{T - T_0} \quad (17)$$

である。

6. おわりに

本文では交通流の挙動をもっともよく表しているショックウエーブ(SW)の定式化を行った。この定式化は複雑な交通流をt-sダイアグラムで解析出来るように平均化と線形化を行ったものをモデル解析した結果である。既発表の文献[5]では考慮していない車頭距離と速度の関係、(1)式を本文で導入した。交差点でのSWの式は文献[5]と同じであるが、本文で(1)

式を導入したことによって、SWが速度と β なる道路定数によって定まることが新しい知見として加わった。

ここでの理論を実際的に運用するためには、平均化線形t-sダイアグラムのもとになるデータ(速度 V と車頭時間 T)を交差点の前後で測定しなければならない。既に設置してあるセンサ(ループ、超音波、光、電波など)からの情報が活用できるであろう。

信号の制御で一番重要なことは、交通流の予測情報が必要となるということである(12),(13)の速度 V と車頭時間 T は予測情報であって現在の値ではない。過去に速度 V と車頭時間 T の変化の傾向から現在のそれらを予測したものである。この問題については今後考察すべき課題である。

謝辞

本研究の推進にあたっては東北文化学園大学谷口正成教授、鈴木祥介准教授には常日頃からお世話になっている。とくに鈴木准教授には論文作成、発表についての細部のご協力・ご助力を頂いている。ここに厚く御礼申し上げる。

文献

- [1] 高木相：“道路交通の物理的性質 (I) 一挙動の調査—”、計測自動制御学会東北支部第246回研究集会、資料番号246-17 (2008.11.17)
- [2] 高木相：“道路交通の物理的性質 (II) 一t-sダイアグラムによる交通流の表示—”、同上、247回研究集会、資料番号247-5 (2008.12.19)
- [3] Adolf May: Traffic Flow Fundamentals, Prentice Hall (1990)
- [4] M. Bando, K. Hasebe, A. Nakayama, A. Shibata, Y. Sugiyama: “Dynamical model of traffic congestion and numerical simulation”, Physical Rev. E. 51, pp. 1035-1042 (1995)
- [5] 高木相：“道路交通のダイナミクス (II) 一交差点車列形成とショックウエーブの挙動—”、情報処理学会、ITS(1-13), (平成12,5,25) (大坂大学基礎工学部)

付録

付図1は車速度 V と車頭時間 T の関係の測定結果である(文献[2]の図3.1)。 $V=0$ で $T=\infty$ である。図中の実線は T の下限を辿ったものである。この曲線は

$$T \propto \frac{1}{V} \quad (\text{付1})$$

である。これは本文(1)式で $L=TV$ であるから、 V の小さいところでは(付1)式に接近するということから云えることである。

付図1では V が大きいところがはっきりしない。付図2に示すように、 V が大きいところは上向きの曲線になる。 V の大きいところは自由領域で前車の存在には無関係に走行できる領域である。ここでは速度の上限が存在する。

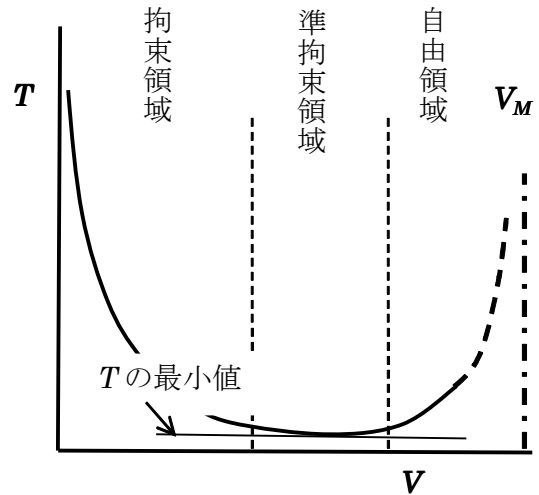
すなわち、自由走行時の平均速度 V_M が存在する。この領域の交通流は疎であるから、 T は大きい。よって $V-T$ 曲線は付図2のように凹型曲線になる。

T と V の積は L ($L=TV$) である。そして $TV \lim_{V \rightarrow 0, T \rightarrow \infty} = L_0$ である。すなわち、 $V=0, T=\infty$

の極限值は、停止車列の一台当たりの道路占有距離 L_0 であることは現実を知るわれわれには十分納得できることである。

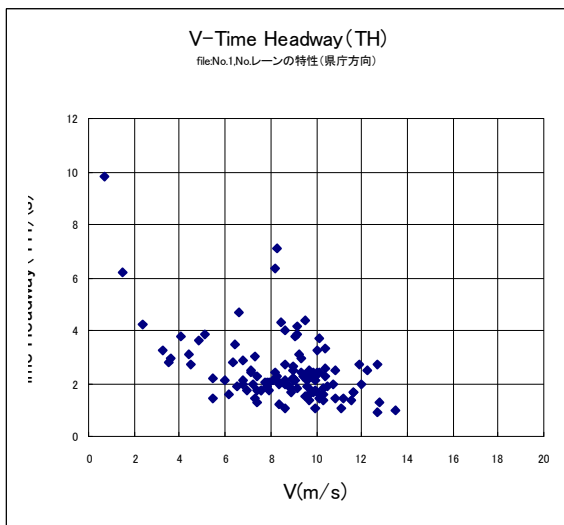
本文の式(1)を証明するデータを付図3に示す。

(文献[2]の図3.1)



付図2. $V-T$ 特性の一般
(文献[2]の図.3.2)

(A)



付図1. $V-T$ 特性の測定結果の例

(B)

付図3. $V-L$ 関係のデータ

A : 方形目盛り、 B : $V - \ln(L)$; これ
が平均的に直線関係にあることから(1)
式が成立する)

